

II-398 スリット壁の波力に関する抗力係数と質量係数

苫小牧工業高等専門学校 正会員 浦島 三朗
 苫小牧工業高等専門学校 正会員 石塚 耕一
 室蘭工業大学 正会員 遠藤 健郎

1. まえがき 近年、水域の有効利用、港内の海水汚濁の緩和等を目的として直立透水壁型防波堤の普及が目覚ましい。このような構造物を合理的に設計するには、まず単一の透水壁についてその波力特性を正確に把握する必要がある。多孔壁およびスリット壁は透水壁の代表例であり、円形多孔壁の波力特性については遠藤らによって調べられていて¹⁾²⁾が、スリット壁についてはその研究報告はほとんどない。本研究においては従来孤立円柱の波力算定に用いられてきた Morison の式によつてスリット壁に作用する波力を推定することとし、その抗力係数 C_D と質量係数 C_M の特性について考察するものである。そのため、波力実験と定常流実験をあわせて行つている。

2. 解析方法 Morison の式をスリット壁に適用すると次式のようになる。

$$F_T(t) = F_D(t) + F_L(t) = C_D(t) \int \rho \frac{U|U|}{2} dA + C_M(t) \int \rho U dV \quad (1)$$

上式において C_D : 抗力係数, C_M : 質量係数, ρ : 水の密度, U : 水平水粒子速度, \dot{U} : 水平水粒子加速度, dA : スリット壁の微小面積, dV : スリット壁の微小体積を表わす。上式中の水平水粒子速度 U や加速度 \dot{U} は微小振幅波理論の部分重複波、進行波のいずれを採用すべきか議論のあるところであり、ここではこれらの 2 方法で行ってみた。 C_D , C_M の決定法は、実測波力を各時間ごとに正確に表現するように決定する Al-Kazily の方法を応用した。Reynolds 数, Keulegan-Carpenter 数についても次式で定義することとした。

$$Re = \frac{U_{rms} \cdot S}{\nu}, \quad K.C = \frac{U_{rms} \cdot T}{d} \quad \text{但し, } U_{rms} = \sqrt{\frac{\int_0^T |U| \cdot U dy}{T}} \quad (2)$$

式中 S はスリット間隔, T の周期, ν は流体の動粘性係数である。定常流の C_D については下式の理論で求めた損失水頭係数 C_d とし, $C_D = C_d / (1 - \alpha)$ として得るものである。

$$\lambda_d = C_d \cdot V^2 / 2g \quad (3) \quad \text{ここで, } \lambda_d: \text{損失水頭, } V: \text{管水路の流速, } g: \text{重力加速度}$$

3. 実験方法 実験は長さ $19.7m$, 幅 $0.8m$, 高さ $0.8m$ のペンデュラム造波装置が設置されている両面ガラス張りの二次元造波水槽を仕切板により二分し、その一方にスリット壁を取り付け、他方は入射波検定部として使用した。造波機の前方 $11.3m$ の位置に波力検出計を設置した。この装置は図-1 に示すように波力測定アーム部に $25mm \times 6mm$ の断面を有する平鋼を用いアーム上端部を固定し、検出計全体として片持梁構造としてある。アーム一本につきその表面には $20cm$ 間隔で計 4 枚の Strain gauge を貼り、ブリッジ回路を構成し動歪計を通じてビジグラフに記録せた。スリット壁前面の水位はスリット壁より $1cm$ 冲側に設置した容量式波高計により同時に検出した。なお本実験では、スリット壁として幅 $40cm$, 高さ $60cm$, 厚さ $3cm$ のアクリル材を用い、空隙率 α とスリット間隔 S の組合せは、 $\alpha = 25\%$ で $S = 20mm$, $\alpha = 35\%$ で $S = 28mm$, $\alpha = 50\%$ で $S = 40mm$ とした。周期は $T = 1.12 \sim 2.38$ sec, 波高は約 $1cm \sim 10cm$ の範囲で行い、前面水深は一定で $h = 50cm$ とした。定常流による抗力係数の測定には長さ $11.5m$, 幅 $50cm$, 高さ $40cm$ の定常流

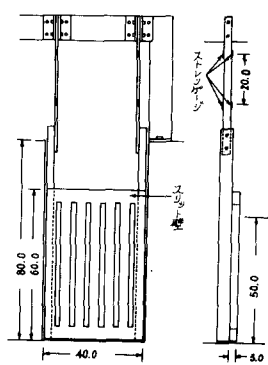


図-1 波力検出装置

開水路を用いた。この水路の一部を管路にし、中間部にスリット壁を取り付けその前後の圧力水頭差をマノメータにより測定した。

4. 実験結果および考察

図-2はスリット壁の理論波力 F_m の実測波力 F からの分散度 R とK.C数との関係を示したものである。ただし、分散度 R は次式より計算した。

$$R = \frac{\sum_{i=1}^N (F(t_i) - F_m(t_i))^2 / N}{|F_{max} - F_{min}|} \quad (4)$$

スリット壁の分散度は孤立円柱と比較する比で大きく、周期内で一定値を持つものと仮定して求めた C_D 、 C_M 値を用いる理論波力 F_m は実測波力の約5~10%程度のバラツキ幅で推定することができる。

水平水粒子速度 u 、加速度 u' に部分重複波みるが進行波を用いた C_D とRe数の関係を図3、4に、 C_M とK.C数の関係を図5、6に示す。図3、4より波動実験による結果は、流速に反比例する層流の抵抗特性を示し、空隙率入が小さくなると C_D の値は大きくなる。 u 、 u' に部分重複波を用いると、定常流実験の値と連続がよく比較的よく整理される。

C_M の値は、K.C数が増加するほど小さくなりほぼ一定値に近づく傾向を示し、それが小さいほどその傾向が著しい。これは、K.C数が小さいほど渦が発生しにくく、渦の発生に起因する抗力が小さくなるためであると思われる。今回の実験において各スリット壁の C_D 、 C_M の値は、孤立角柱の値と比較すると比較的大きな値となる。

5. 結び

C_D 、 C_M の値は、スリット壁の位置によって C_D 、 C_M の値がかなり変化することが考えられる。

参考文献

- 1) 遠藤・佐藤：多孔壁の損失係数と見掛けのオリフィス長さの推定、第26回海岸工学講演会論文集 1979 p.333~337
- 2) 森山・服部・遠藤：多孔壁に作用する波力の特性、第35回土木学会年次学術講演会講演概要集 1980 p.35~36
- 3) Al-Kazily, M.A.: Forces on Submerged Pipelines Induced by Water Waves, University of California Hydraulic Engineering Laboratory, Technical Report HEL 9-21, 1972 p.197
- 4) 土木学会：水理公式集 p.523

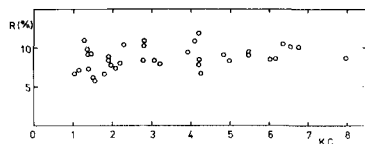


図-2 K.C数と分散度の関係

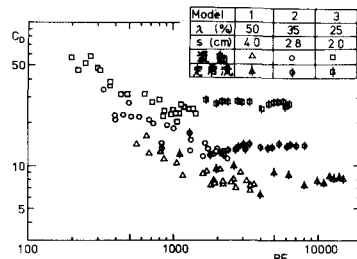


図-3 Re数と C_D の関係(部分重複波)

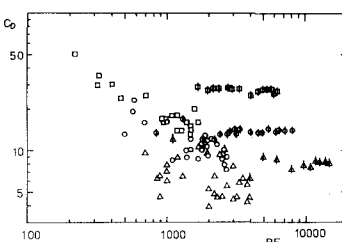


図-4 Re数と C_D の関係(進行波)

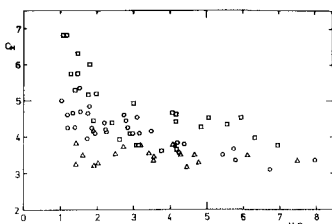


図-5 K.C数と C_M の関係(部分重複波)

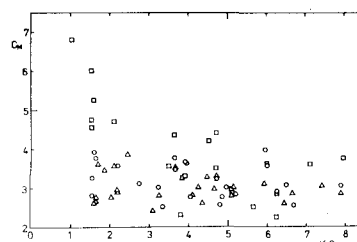


図-6 K.C数と C_M の関係(進行波)